



Semnan University of Medical Sciences

# KOOMEESH

**Journal of Semnan University of Medical Sciences**

**Volume 21, Issue 2 (Spring 2019), 205- 393**

**ISSN: 1608-7046**

**Full text of all articles indexed in:**

*Scopus, Index Copernicus, SID, CABI (UK), EMRO, Iranmedex, Magiran, ISC, Embase*

## روش نوین طراحی فورم قوس دندانی مبتلا به شکاف لب و کام

آریتا تهرانچی<sup>۱</sup> (DMD MS)، مرتضی مینا<sup>۲</sup> (DMD MS Residet)، نازیلا عاملی<sup>۳\*</sup> (DMD MS)

۱- مرکز تحقیقات دندان پزشکی، موسسه تحقیقات علوم دندان پزشکی، دانشکده دندان پزشکی، دانشگاه علوم پزشکی شهید بهشتی، تهران، ایران

۲- بخش خصوصی، تهران، ایران

۳- بخش پروتزهای دندانی، دانشکده دندان پزشکی، دانشگاه علوم پزشکی شاهد، تهران، ایران

۴- بخش ارتودانتیکس، دانشکده دندان پزشکی، دانشگاه علوم پزشکی سمنان، سمنان، ایران

تاریخ دریافت: ۱۴۰۶/۱۵/۱۲ تاریخ پذیرش: ۱۴۰۷/۷/۲۲

nazilaa.aameli@gmail.com

### چکیده

**هدف:** هدف از این مطالعه ارائه یک فرمول تابع بتای تغییر یافته جهت پیش‌بینی فورم قوس ماغزیلا در بیماران مبتلا به شکاف لب و کام (Cleft Lip/or Palate, CLP) و نیز ارزیابی دقت آن می‌باشد. از آن جا که این اطلاعات می‌تواند برای پیش‌بینی فورم ایده‌آل قوس ماغزیلا در بیماران CLP مورد استفاده قرار بگیرد، لذا می‌تواند راهنمای مناسبی برای کلینیسین در جهت ارائه درمان ایده‌آل ارتودنوتیک و جراحی برای این گروه از بیماران باشد.

**مواد و روش‌ها:** ۴۶ نوجوان با شکاف لب و کام انتخاب شدند. اندازه‌گیری‌ها بر روی کست‌های دندانی شامل عرض بین مولری (Inter-Molar Width, IMW) و عمق بین مولری (IMD) در هر دو قوس بود. فرمول تابع بتای تغییر یافته جهت توسط نرم‌افزار انطباق منحنی MATLAB ارائه شده و دقت آن در پیش‌بینی فورم قوس ماغزیلا مورد ارزیابی قرار گرفت.

**یافته‌ها:** مقادیر میانگین IMD و IMW در ماغزیلا و مندیبل بیماران مبتلا به شکاف دهانی به ترتیب،  $56/21 \pm 3/57$  و  $51/3 \pm 79/17$ ،  $51/46 \pm 28/21 \pm 20$  بوده است. این مقادیر هم‌بستگی مثبتی با یک‌دیگر داشته‌اند ( $P=0.00$ ). دقت پیش‌بینی فورم قوس بر اساس فرمول تابع بتای تغییر یافته با کاربرد Delta R  $69/1$  میلی‌متر بوده است. تفاوت عرض بین مولری ماغزیلا و مندیبل بین دو جنس و IMD مندیبل بین افراد با شکاف یک یا دوطرفه از نظر آماری معنادار بود ( $P<0.05$ ).

**نتیجه‌گیری:** این مطالعه یک فرمول تابع بتای تغییر یافته برای پیش‌بینی فورم قوس ماغزیلا در بیماران مبتلا به شکاف لب و کام را پیشنهاد می‌دهد که از سطح قابل قبولی از دقت برخوردار می‌باشد.

### واژه‌های کلیدی: عرض مولری، عمق مولری، شکاف لب و کام، فورم قوس

داشته‌اند که جراحی‌های ارتوپدیک زودهنگام هر چند بسیار اثرات مفیدی بر روی فورم قوس می‌توانند داشته باشند، در عین حال نیاز به جراحی‌های اصلاحی بعدی را مرتفع نمی‌سازند [۵]. طیف وسیعی از مقیاس‌ها و سیستم‌های رتبه‌بندی برای ارزیابی نتایج درمان ارتودنوتیک بیماران CLP معرفی شده‌اند. یکی از رایج‌ترین روش‌ها شامل ارزیابی ابعاد قوس ماغزیلا و اکلوژن نهایی بیماران مبتلا با استفاده از کست‌های دندانی است. مطالعات بلندمدت محدودی درباره ارزیابی ابعاد قوس دندانی بیماران CLP وجود دارد [۶-۱۰].

ابعاد قوس ماغزیلا در بیماران CLP، به‌خصوص در ناحیه کانین در مقایسه با افراد غیرمبتلا به طور معناداری کاهش یافته است [۶]. این کاهش مشخص در ابعاد قوس ماغزیلا (شامل عرض بین مولری و عمق قوس)، پیامد وجود شکاف در قوس آلوئول و نیز اقدامات جراحی قبلی است که به علت تشکیل

### مقدمه

شکاف لب و کام یا Cleft Lip/or Palate (CLP) یکی از شایع‌ترین ناهنجاری‌های تکاملی است که بر رشد و تکامل کرانیوفاسیال اثر می‌گذارد. این ناهنجاری منجر به اختلالات فانکشنال و روانی شده و اثر نازیابی بر صورت دارد [۱]. درمان کودکان مبتلا به CLP در هر مرحله از تکامل دندانی هنوز هم چالش مهمی برای دندان پزشکان است [۲]. در آنومالی‌های سندرمیک همراه با CLP، هم‌اچنگی بین جراح فک و صورت و ارتودنوتیست برای دستیابی به نتایج رضایت‌بخش، فاکتوری اساسی است [۳].

مطالعات متعدد مرتبط با بیماران مبتلا به شکاف‌های دهانی تلاش نموده‌اند تا بهترین زمان و توالی جراحی را دریافت و اثر اقدامات جراحی زودهنگام را بر قوس‌های دندانی و نیز نیاز به اقدامات ارتوپدیک اولیه را ارزیابی کنند [۴]. برخی عنوان

بیماران مبتلا به شکاف دهانی مزیت بخش است زیرا ناحیه بین کائینی و سگمنت قدامی قوس ماگزیلا به ندرت تحت تاثیر وجود نقص آلوئولی قرار می‌گیرد. خصوصیت مشخص دیگر تابع بتا در مدل ریاضی این است که توجهی به ناقرینگی ندارد. در حقیقت یک فرد می‌تواند از این تابع قرینه در مشکلات خاص مثل افراد با شکاف دهانی یک طرفه که نیاز به ساخت یک مدل ایده‌آل قرینه دارند، استفاده کند [۱۶].

امروزه به نظر می‌رسد اطلاعات کمی درباره میزان مطلوب ابعاد قوس دندانی ماگزیلا که از ترکیب درمان‌های ارتودنسی و جراحی در بیماران CLP می‌توان دست یافت، وجود دارد. در این رابطه، ما به ارزیابی تناسب فرمول ریاضی تغییر یافته تابع بتای پیشنهادی برای پیش‌بینی قوس ماگزیلا با استفاده از دو مجموعه از اندازه‌گیری‌ها در مندیل نوجوانان ۱۶-۱۲ ساله دارای شکاف لب و کام پرداختیم. سپس دقت فرمول ارائه شده در پیش‌بینی قوس دندانی ماگزیلا در بیماران CLP بررسی شد. از آنجا که این اطلاعات می‌تواند برای پیش‌بینی فورم ایده‌آل قوس ماگزیلا در بیماران CLP مورد استفاده قرار بگیرد، لذا می‌تواند راهنمای مناسبی برای کلینیسین در جهت ارائه درمان ایده‌آل ارتودنتیک و جراحی برای این گروه از بیماران باشد.

## مواد و روش‌ها

این مطالعه پس از دریافت کد اخلاق به شماره IR.SBMU.RIDS.REC.1395.201 شهید بهشتی انجام شد. در این مطالعه گذشته‌نگر بر اساس شیوه CLP در جامعه ایرانی [۱۹]، رکوردهای بلند مدت ۴۶ نوجوان مبتلا به شکاف دهانی (۲۱ دختر و ۲۵ پسر) با میانگین سنی ۱۴ سال و ۱ ماه (طیف سنی ۱۲-۱۶ سال) مورد استفاده قرار گرفت. این رکوردها شامل اندازه اولیه قوس مندیل و اندازه نهایی قوس ماگزیلا برای هر بیمار بود. ۳۳ نفر از بیماران دارای شکاف یک طرفه و ۱۳ نفر دارای شکاف دوطرفه بودند. پرتوکل مطالعه از اصول بیانیه هلسانیکی در رابطه با تحقیق بر روی غونه‌های انسانی تعیین نموده و طراحی مطالعه تائیدیه کمیته اخلاق را به همراه داشت. در این مطالعه، بیماران از کلینیک‌های دندانپزشکی با معیارهای ورود زیر انتخاب شدند:

۱) فقدان آنومالی یا سندروم غیر از CLP

۲) بیمارانی که تحت درمان ترمیم شکاف لب در سنین بین ۳ ماه تا ۲ سال قرار گرفته و ۳ ماه قبل از جراحی درمان ارتودنتیک دریافت داشته‌اند.

۳) سابقه بستن جراحی کام سخت و نرم در سنین مربوطه

۴) پیوند استخوان ثانویه و استئوتومی احتمالی

۵) اکسپنشن ارتودنتیک قبل از پیوند استخوان

اسکار جراحی، بر رشد نرمال قوس ماگزیلا اثر می‌گذاردند [۸]. ابعاد قوس مندیل نیز در طی زمان به دلیل تغییر در قوس مقابل، تحت تاثیر قرار می‌گیرد [۲].

با توجه به مطالعات گذشته، درمان شکاف‌های دهانی شامل درمان ارتودپدیک، ارتودنتیک و جراحی و نیز زمان‌بندی درمان، اثر قابل توجهی بر تکامل قوس دندانی و رشد صورتی خواهد داشت [۹]. لذا، روابط قوس‌های دندانی فاکتور مهمی در تعیین کیفیت درمان بیماران CLP محسوب می‌شود. با توجه به شیوع بالای این دفورمیتی، محاسبه اختصاصی ابعاد قوس دندانی در این بیماران مورد تأکید بوده است [۱۲، ۱۳]. همچنین پیش‌بینی فورم قوس به صورت اختصاصی برای هر فرد، نقش مهمی در فانکشن، زیبایی و ثبات نهایی درمان ارتودنتیک ایفا می‌کند. پیش‌بینی تکامل قوس دندانی در درمان ارتودنتیک بهخصوص در بیماران با تقاضا واضح کرایونوفاسیال مفید است [۱۴]. نشان داده شده که بهترین روش برای دستیابی به درمان قابل پیش‌بینی، توجه به تفاوت‌های فردی وسیع بین فرم قوس‌های دندانی و محاسبه فورم قوس اختصاصی به صورت فردی است. البته در سال‌های قبل نیز به اهمیت این موضوع بی بوده شده بود، اما تعیین فرم قوس اختصاصی برای هر بیمار امری دشوار یا وقت‌گیر به نظر می‌رسید [۱۲].

BeGole نشان داد که انحنای ایده‌آل قوس دندانی را می‌توان به دقت توسط منحنی‌های ریاضی توصیف نمود. این مدل منحنی ریاضی باید کاملاً قابل انطباق باشد تا با اشکال و اندازه‌های مختلف قوس دندانی تناسب داشته باشد [۱۵]. در مدل، قوس دندانی یک انحنای تخلیلی است و اطلاعات توصیفی شامل مجموعه‌ای از نقاط مرجع جداگانه است. لذا، منحنی ریاضی تولیدی باید به صورت فردی و تا حد کافی قابل انعطاف باشد تا اکثر نقاط مرجع دندانی مدنظر را پوشش دهد [۱۶]. تاکنون مدل‌های ریاضی متعددی با هدف پیش‌بینی قوس دندانی اختصاصی در بیماران ارتودنتیک ایجاد شده اما هنوز هیچ کدام از آن‌ها برای قام شرایط کلینیکی ایده‌آل نیستند. مدل ریاضی موردنظر باید با توجه به اهداف و کاربردهای خاص انتخاب شود. تفاوت اصلی بین فرم‌های هندسی ارائه شده و توابع ریاضی در تعداد پارامترهای پیش نیاز برای یک پیش‌بینی دقیق است [۱۷].

مشخص گردیده فرم قوس دندانی انسان به دقت و از طریق تابع بتا (beta function) قابل ترسیم بوده و با استفاده از آن؛ یک معادله عمومی از اشکال قوس فک بالا و پائین برای هر یک از طبقه‌بندی‌های اکلوژن انگل قابل محاسبه است [۱۸]. تابع بتا تنها از دو مقیاس استفاده نموده و سایر لندهارها را مدنظر قرار نمی‌دهد. این امر بهخصوص در افراد با مشکل خاص مثل

۱۹) عمق بین مولری (IMD): فاصله بین مقاس ثانیای سانترال و خطی که نقاط FA مولرهای اول را به هم متصل می‌کند.



شکل ۱. تصویر فتوگرافیک مدل با نقاط FA تعیین شده بر روی تمام دندان های دائمی با در نظر گرفتن نقطه FA مولرهای اول به عنوان مرجع

آنالیز آماری توسط نرم افزار SPSS 22.0 برای ویندوز (SPSS Inc, Chicago, IL, USA) انجام شد. اطلاعات توصیفی شامل میانگین و انحراف معیار (با فواصل اطمینان ۹۵٪) از ابعاد IMD و IMW برای کستهای ماجزیلا و مندیبل ۴۶ بیمار محاسبه شد. تست Kolmogorov smirnov برای محاسبه توزیع نرمال دادهها به کار رفت. تفاوت بین اندازه‌های قوس‌های ماجزیلا و مندیبل با استفاده از تست paired t-test بررسی شده و از تست unpaired t-test برای آنالیز تفاوت‌ها بین جنسیت بیماران و نوع شکاف دهانی استفاده شد.

در مرحله بعدی دقت فرمول تابع بتای تغییر یافته پیشنهادی قبلی برای قوس ماجزیلا در جمعیت با اکلوژن نرمال [۲۰] توسط دو مقیاس کمی و یک مقیاس کیفی در بیماران CLP ارزیابی شد که شامل موارد زیر بود:

۱- ضریب همبستگی پیرسون بین اندازه طول قوس با استفاده از محاسبات انتگرال (فرمول زیر) و طول حقیقی قوس

۲-  $\Delta R$ : برای تبدیل نقاط اطلاعات از مختصات دکارتی به مختصات قطبی، روابط زیر به کار رفت:

$$(1) x = R \cos \theta,$$

$$(2) y = R \sin \theta,$$

$$(3) R = \sqrt{x^2 + y^2},$$

$$(4) \theta = \tan^{-1} (y/x)$$

ابتدا نقاط محاسبه شده با استفاده از معادله شماره ۳ به مختصات قطبی تبدیل شدند. سپس با استفاده از معادله شماره ۴،  $\theta$  مربوطه با هر نقطه اندازه‌گیری به دست آمد. در محله سوم با جایگزینی  $\theta$  در مختصات قطبی قوس پیش‌بینی شده بیماران،  $R$  مربوطه (رادیوس) با حل معادله حاصل به دست آمد. این رادیوس به

۶) درمان با دستگاه ارتودننسی ثابت برای دستیابی به اکلوژن نهایی

۷) به جز مولرهای دوم و سوم، قام دندان‌های دائمی به صورت کامل روئیده و هیچ اینورمالیتی در تعداد دندان‌ها (آزنزی، سابقه خارج کردن دندان و یا دندان اضافه) یا شکل دندان‌ها در قوس مندیبل در آغاز درمان ارتودننسی ثابت وجود نداشت.

۸) انطباق میدلاین‌های نهایی ماجزیلا و مندیبل در کست نهایی

۹) فقدان پوسیدگی در سطوح بین دندانی قوس مندیبل

۱۰) حضور دندان‌های کانین راست و چپ در ماجزیلا در هر دو گروه مبتلا به شکاف دهانی یک یا دو طرفه در انتهای درمان ارتودننسی ثابت

۱۱) قام بیماران مبتلا به شکاف دهانی باید به اکلوژن قابل قبول شامل روابط ایده‌آل کانینی و مولری (کلاس انگل) و اورجت و اوربایت کافی (۲ میلی‌متر) دست یافته باشند.

۱۲) معیارهای خروج عبارت بودند از:

۱۳) تاریخچه کشیدن دندان یا ارتودننسی ثابت در فک پائین

۱۴) حضور کراس بایت قدامی یا طرف در مرحله نهایی درمان

۱۵) وجود ترمیم‌هایی که به نواحی قاس، نوک کاسپ‌ها یا لبه‌های اینساایزال یا نواحی سرویکال قوس مندیبل در آغاز درمان گسترش یافته‌اند.

۱۶) از دیسکرپانسی‌های خفیف طول قوس مثل ۲-۱ میلی‌متر

کراودینگ و چرخش‌های دندانی خفیف در قوس مندیبل چشم‌بوشی شد. در هر مرحله کستهای دندانی با توجه با

استانداردهای ارتودنتسیک تهیه شدند. پروتکل آن شامل

ISO 1563، ADA; Orthoprint, (Zhermack, Italy

Rapidur, Dentarum, Germany) پس از ضدغوفنی سریع (در کمتر از ۱۵ دقیقه) Pars

ریخته شد. در مرحله بعدی کست‌ها سیامرنگ شدند (Co, Tehran, Iran

(شکل ۱) تا دقت مشاهده رنگ سفید افزایش یابد.

۱۷) یک گیج دیجیتال (Unitek US) برای اندازه‌گیری نقاط

صورق (FA) بر روی دندان‌های دائمی (به جز مولرهای دوم)

مورد استفاده قرار گرفت. جزئیات ابزار اندازه‌گیری واحد

اسکن لیزری و روش کار مورد استفاده به تفصیل در مقاله

پیشین نویسندها [۲۰] توصیف شده است. دو مقیاس اصلی

شامل عرض و عمق قوس‌های دندانی در ناحیه مولر اول بر

روی کست‌های دندانی هر بیمار اندازه‌گیری شده و به صورت

زیر تعریف شده است:

۱۸) عرض بین مولری (IMW): بین نقاط FA مولرهای اول

IMW در ماگزیلا و مندیل را نشان می‌دهد. بر اساس جدول، مقادیر میانگین IMW در ماگزیلا و مندیل به ترتیب  $56/21$  و  $51/79$  میلی‌متر بوده و مقادیر میانگین IMD در ماگزیلا و مندیل به ترتیب  $31/64$  و  $28/21$  میلی‌متر بوده است. همبستگی بین IMW و IMD دو قوس، به ترتیب  $0/705$  و  $0/416$  بوده است. (جدول ۱)

جدول ۱. یافته‌های توصیفی عرض بین مولری (IMW) و عمق بین مولری (IMD) در بیماران مبتلا به شکاف لب و کام به تفکیک در دو قوس

معنا داری	همبستگی	قوس مندیل ± میانگین انحراف معیار (میلی‌متر)	قوس ماگزیلا ± میانگین انحراف معیار (میلی‌متر)	تعداد (۴۶)
* $0/000$	$0/705$	$51/79 \pm 3/17$	$56/21 \pm 3/57$	IMW
* $0/004$	$0/416$	$28/21 \pm 2/20$	$31/64 \pm 3/46$	IMD

$P < 0.05$  \*

IMW و IMD ماگزیلا و مندیل وابسته بوده و همبستگی مثبتی با یکدیگر دارند ( $P=0/000$ ). لذا افزایش IMW و IMD در قوس ماگزیلا همراه با افزایش این مقادیر در قوس مندیل خواهد بود. برای آنالیز تفاوت بین اندازه‌های دو قوس از آزمون paired t-test استفاده شد. (جدول ۲) میانگین تفاوت بین IMW و IMD به ترتیب  $4/41$  و  $3/43$  میلی‌متر بوده است که از نظر آماری برای هر دو مقیاس معنادار بود ( $P<0/05$ ).

جدول ۲. مقایسه آماری تفاوت‌های عرض بین مولری (IMW) و عمق بین مولری (IMD) بین دو قوس ماگزیلا و مندیل

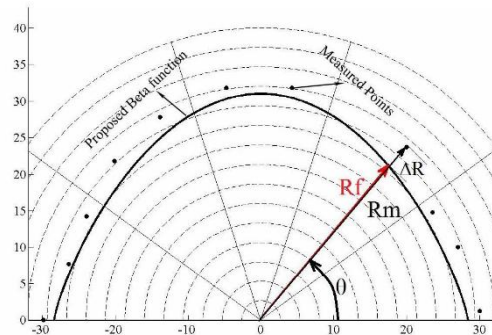
معناداری	درجه آزادی	میانگین انحراف معیار	مقایسه دو به دو
* $0/000$	$9/153$	$4/2 \pm 41/99$	IMW و مندیل
* $0/000$	$11/04$	$3/2 \pm 43/32$	IMA و مندیل

$P < 0.05$  \*

آنالیز زیرگروه دوم اثر جنسیت را بررسی نمود. آزمون IMW unpaired t-test (جدول ۳) نشان می‌دهد که تفاوت MZ ماگزیلا و مندیل بین دختران و پسران از نظر آماری معنادار بود. (P< $0/05$ ) هر چند تفاوت بین IMD ماگزیلا و مندیل بین دو جنس معنادار نبوده است. (P> $0/05$ )

آنالیز زیرگروه سوم، اثر نوع شکاف دهانی را بر اندازه‌های MZ ماگزیلا و مندیل بررسی نمود (جدول ۴). مقادیر میانگین IMW در هر دو قوس و IMD در قوس MZ ماگزیلا تفاوت معناداری نشان

دست آمده را با Rf و رادیوس قبلی را با RM اگر نشان دهیم، لذا:  $R = RM - Rf$  (شکل ۲)



شکل ۲. یک نمونه از تصویر سوپرایمپوزیشن نقطه ثبت بر روی کست دندانی توسط تابع بتای تغییر یافته قوس ماگزیلا در بیماران مبتلا به شکاف لب و کام

معیار میانگین جذر مربعات (RMS root mean square) یا کل قوس:

$$S = \int_{-RM}^{LM} \sqrt{1 + \left(\frac{dy}{dx}\right)^2} dx$$

طول قوس پیش‌بینی شده توسط فرمول فوق محاسبه شده که در آن  $dy/dx$  مشتق اول منحنی قوس در ارتباط با محور افقی، S طول قوس، LM مولر اول چپ و RM مولر اول سمت راست است. تابع بتای ارائه شده قبلی به صورت زیر تعریف شده بود:

$$y = 3.0314 \cdot D \cdot \left( \frac{x}{w} + \frac{1}{2} \right)^{0.8} \cdot \left( \frac{1}{2} - \frac{x}{w} \right)^{0.8}$$

در اینجا، W، عرض مولری است که فاصله اندازه‌گیری شده بین نقاط FA مولرهای اول راست و چپ می‌باشد. D، عمق قوس است که میانگین فاصله عمودی از سانترال‌ها تا خط متصل‌کننده مولرهای از نقطه‌ای است که از آنجا W محاسبه شده است. با وارد کردن دو پارامتر از قوس دندانی مندیل به فرمول، پیش‌بینی فورم قوس دندانی MZ امکان‌پذیر است. دو هفته پس از اندازه‌گیری اول، ۱۰ کست دندانی به صورت تصادفی انتخاب شده و برای ارزیابی توافق درونی مشاهده‌گر مجدد اندازه‌گیری شد.

## نتایج

برای ارزیابی توزیع اندازه‌ها شامل IMW و IMD از Q-Q plot به همراه تست Kolmogorov smirnov استفاده نمودیم که نشان داد تابع توزیع نرمال احتمالی برای هر دو اندازه به خوبی با جمعیت CLP انطباق دارد. جدول ۱ یافته‌های مربوط به IMD و

(نرم افزار MATLAB با تطبیق منحنی) و طول قوس آنها بر اساستابع بتا و انتگرال گیری محاسبه گردید. همچنین ضریب همبستگی Pearson در این محاسبات برابر ۰/۸۷ بود که نشان دهنده ارتباط مثبت قوی بین طول واقعی فک بالا و طول فک بالای به دست آمده از روی فرمول بوده است. (جدول ۵)

میزان انطباق متوسط گزارش شده از فرمول تابع بتای تغییر یافته با استفاده از Delta R ۱/۶۹ به میلی متر بوده است. (شکل ۲ و جدول ۶) به منظور برآورد میزان توافق درونی مشاهده گر؛ تفاوت بین محاسبات اول و دوم با آزمون paired t بررسی و تفاوت آنها غیرمعنی دار بوده است. همچنین، خطای محاسبات توسط فرمول Dahlberg به دست آمده که در محدوده ۰/۹۹-۰/۹۴۴ و قابل قبول بوده است. به منظور گزارش تفاوت های مشاهده شده بین فورم قوس پیشنهادی و حقیقی، RMS برای کل قوس توسط دربر گرفتن ۱۲ لندمارک دندانی محاسبه شد (جدول ۶). میانگین مقدار RMS ۱/۸۵ میلی متر بود.

ندا. هر چند مقادیر IMD مندیبل تفاوت معناداری بین بیماران با شکاف دهانی یک طرفه و دوطرفه داشت (جدول ۴). IMD قوس مندیبل در بیماران با CLP یک طرفه به طور معناداری کمتر از افراد با CLP دوطرفه بود (میانگین تفاوت ۱/۷ میلی متر و  $P < 0/02$ ).

تفاوت محاسبه شده در این مطالعه بین IMD ماگزیلا و مندیبل، مستلزم ایجاد رابطه مولری کلاس I انگل به عنوان هدف درمان ارتودنسی است. با توجه به محاسبات دو متغیر قبلی و بر اساس داده های ابعاد قوس مندیبل، ما قادر به پیش بینی فورم قوس ماگزیلا در بیماران CLP از طریق فرمول بتای تغییر یافته زیر هستیم:

$$y = 3.0314.(D+3.43).\left(\frac{x}{w+4.41} + \frac{1}{2}\right)^{0.8} \cdot \left(\frac{1}{2} - \frac{x}{w+4.41}\right)^{0.8}$$

اثبات فرمول:

برای اثبات کارآیی فرمول پیشنهادی؛ ۱۰ مدل جدید بر اساس معیارهای ورود قبلی انتخاب شده و طول قوس واقعی

جدول ۳. اثر جنسیت بر متغیرهای اندازه گیری شده و ارزیابی آماری تفاوت های بین متغیرهای محاسبه شده در ماگزیلا و مندیبل

P value	میانگین خطای استاندارد	میانگین $\pm$ انحراف معیار	تعداد هر جنس	
* ۰/۰۰۲	۰/۷۷	۵۴/۳ $\pm$ ۸۵/۵۱	۲۱ دختر	قوس ماگزیلا IMD
	۰/۶۵	۵۷/۳ $\pm$ ۳۵/۲۶	۲۵ پسر	
* ۰/۰۰۰	۰/۶۲	۴۹/۲ $\pm$ ۷۷/۸۳	۲۱ دختر	قوس مندیبل IMD
	۰/۴۷	۵۳/۲ $\pm$ ۴۹/۳۵	۲۵ پسر	
۰/۹۹۷	۰/۷۲	۳۱/۳ $\pm$ ۶۳/۲۹	۲۱ دختر	قوس ماگزیلا IMD
	۰/۷۳	۳۱/۳ $\pm$ ۶۵/۶۵	۲۵ پسر	
۰/۹۹۵	۰/۵۷	۲۸/۲ $\pm$ ۲۰/۶۳	۲۱ دختر	قوس مندیبل IMD
	۰/۳۶	۲۸/۱ $\pm$ ۲۱/۸۱	۲۵ پسر	

\* سطح معناداری  $P < 0.05$

جدول ۴. ارزیابی آماری تفاوت های بین متغیرهای اندازه گیری شده در بیماران مبتلا به شکاف لب و کام یک طرفه یا دوطرفه

P value	میانگین خطای استاندارد	میانگین $\pm$ انحراف معیار	تعداد	
۰/۰۶۰	۰/۸۱	۵۴/۲ $\pm$ ۶۲/۹۲	۱۳ دوطرفه	قوس ماگزیلا IMD
	۰/۶۳	۵۶/۳ $\pm$ ۸۳/۶۴	۳۳ یک طرفه	
۰/۲۶۰	۰/۹۲	۵۰/۰ $\pm$ ۹۴/۳۱	۱۳ دوطرفه	قوس مندیبل IMD
	۰/۰۴	۵۲/۳ $\pm$ ۱۳/۰۹	۳۳ یک طرفه	
۰/۶۴۴	۱/۰۹	۳۱/۳ $\pm$ ۲۵/۹۴	۱۳ دوطرفه	قوس ماگزیلا IMD
	۰/۰۵۷	۳۱/۳ $\pm$ ۷۹/۳۰	۳۳ یک طرفه	
* ۰/۰۱۳	۰/۰۸۲	۲۹/۲ $\pm$ ۴۳/۹۴	۱۳ دوطرفه	قوس مندیبل IMD
	۰/۰۲۹	۲۷/۱ $\pm$ ۷۳/۶۶	۳۳ یک طرفه	

\* سطح معناداری  $P < 0.05$

جدول ۵. مقادیر ضریب همبستگی پیرسون بین محاسبه طول قوس حقیقی ماگزیلا (بر حسب میلیمتر) و میانگین قوس پیشنهادی ماگزیلا (بر حسب میلیمتر)

محاسبه طول قوس	میانگین (میلیمتر)	طول قوس حقیقی ماگزیلا	طول قوس پیشنهادی ماگزیلا
* ۰/۸۷	۸۷/۰۳		
	۹۱/۲۱		

جدول ۶. بررسی دقت پیش‌بینی قوس ماگزیلا توسط فرمول تابع بتای تغییر یافته به وسیله مقیاس R و Root Mean Square(RMS) در ۱۰ بیمار مبتلا به شکاف لب و کام (بر حسب میلیمتر)

شماره	۱	۲	۳	۴	۵	۶	۷	۸	۹	۱۰
Delta R دندان (قدامی)	۱/۱۴	۱/۴۰	۱/۹۳	۱/۳۶	۲/۲۷	۲/۹۲	۴/۰۴	۳/۳۴	۰/۹۱	۱/۵۹
	۱/۲۱	۱/۶۸	۱/۶۴	۲/۴۷	۱/۴۰	۲/۴۸	۳/۱۳	۲/۳۹	۰/۸۵	۱/۴۹
	۰/۳۸	۰/۱۷	۱/۱۸	۱/۶۵	۲/۲۲	۱/۹۸	۲/۴۹	۱/۳۱	۰/۵۴	۰/۱۱
	۰/۱۷	۱/۱۸	۱/۱۸	۲/۲۸	۱/۵۰	۱/۷۶	۲/۱۷	۱/۴۳	۰/۲۱	۰/۰۸
	۱/۳۸	۱/۵۱	۳/۷۰	۱/۳۷	۲/۱۴	۲/۰۵	۲/۱۸	۱/۳۰	۱/۱۳	۱/۶۱
	۱/۱۴	۱/۱۴	۱/۴۵	۲/۷۳	۳/۶۴	۲/۱۷	۴/۵۸	۲/۵۷	۱/۶۶	۱/۵۳
میانگین	۰/۷۴	۱/۴۰	۲/۳۲	۲/۰۹	۱/۴۲	۲/۲۲	۳/۰۹	۲/۰۵	۰/۵۸	۱/۰۶
Root Mean Square (RMS)	۱/۰۱	۱/۴۱	۲/۴۳	۲/۲۵	۱/۴۹	۲/۲۶	۳/۲۳	۲/۲۰	۰/۹۹	۱/۲۷

ایشان انتخاب کردن سایه اکسپنشن پالاتال یا درمان ارتودنتیک ثابت نداشته‌اند لذا این تفاوت می‌تواند بیانگر دیس هارمونی اکلوزال شدیدی باشد که به علت دفعه شنسی میدفیس ایجاد شده است. همچنین تعداد غونه‌های مطالعه ایشان محدود بوده است.

در تحقیقات Da Silva Filho و همکاران (۱۹۹۸)، در گروه شکاف کام و لب دوطرفه؛ به نظر می‌رسید قوس دندانی فک بالا تحت تأثیر شکاف کام و لب بوده است؛ به طوری که عرض قوس در سگمنت‌های لترال کمتر از گروه کنترل برآورد گردید [۴].

در تحقیق دیگری هم که روی سفالولگرامها انجام شد، تفاوت معنی‌داری از نظر عرض ماگزیلاری در سطوح اسکلتال بین غونه‌های گروه کنترل و افراد دارای شکاف کام و لب مشاهده نگردید [۲۹]. تفاوت‌ها در نتایج گزارش شده می‌تواند با تعداد غونه‌های محدود و نیز ویژگی‌های نزدیک آن‌ها مرتبط باشد.

علت انتخاب طیف سنتی مطالعه حاضر، بر اساس شواهدی بوده است که نشان می‌دهد پس از سن ۱۳ سالگی در دختران و ۱۶ سالگی در پسران تغییر قابل توجهی در عرض بین کانیفی و مولرهای اول اتفاق نمی‌افتد [۳۰-۳۲].

مدل ریاضی تابع بتای یک فرمول مشتق آماری تجربی است تا منحنی تجربی را بر اساس در پارامتر به نام‌های عرض مولری و عمق مولری پیش‌بینی کند [۱۸]. یکی از فاکتورهای اصلی که ما در انتخاب این تابع خاص ریاضی در مقایسه با سایر فرمول‌ها به کار گرفتیم، اثبات دقت فرمول تابع بتای تغییر یافته در جمعیت با اکلوزن نرمال و نیز نیاز به حداقل تعداد لنتمارک بر روی قوس دندانی بود [۲۰]. این مدل برخلاف مدل چندبخشی مخروطی، محدودیتی از نظر تطابق با قوس‌های دارای شکاف نداشته و برخلاف سایر مدل‌های ریاضی تابع بتا، تنها از دو پارامتر (IMD و ICW) استفاده کرده و سایر لنتمارک‌های دندانی را به کار نمی‌گیرد. ICW مندبیل به دقت پیش‌بینی‌کننده تعادل ذاتی در هر

## بحث و نتیجه‌گیری

با توجه به مطالعه حاضر، عرض بین مولری قوس‌های دندانی ماگزیلا و مندبیل در بیماران مبتلا به شکاف دهانی کمتر بوده است. مطالعات متعددی در مورد دلایل احتمالی این تنگی قابل مشاهده انجام شده و مواردی چون اختلال در خون‌رسانی به دنبال اقدامات جراحی، کشش بافت نرم و دفعه شنسی داخلی بافت حقی در بیماران مبتلا به شکاف‌های دهانی درمان نشده عنوان شده‌اند [۱،۲،۴،۲۱،۲۲].

هر چند اکسپنشن ارتودنتیک قبل از پیوند استخوان برای تمام بیماران ما انجام شده بود، عرض قوس دندانی در هر دو فک همچنان کمتر از مقادیر بیماران با اکلوزن نرمال بود. این یافته می‌تواند ناشی از ریلپس، شدت مشکل شکاف، ترمیم کام، بافت اسکار، نوع ریتنشن و مدت آن و بستن فضای قدامی احتمالی باشد که در مرحله نهایی درمان ارتودنسی ثابت انجام گرفته است [۲،۲۲،۲۴].

بر اساس یافته‌های حاصل، میانگین IMW در دو قوس در مردان بیش از زنان بوده و این تفاوت از لحاظ آماری معنادار بوده است. در حالی که این تفاوت در IMD قوس ماگزیلا و مندبیل بین دو جنس معنادار نبوده است. گزارش‌های متناقضی درباره اثر جنسیت بر ابعاد قوس دندانی در جمعیت با اکلوزن نرمال دارای اثر بیشتری بر خصوصیات ابعاد قوس‌های دندانی باشد تا جنسیت بیمار [۴،۲۳،۲۵،۲۶]. برخلاف برخی مطالعات بر روی بیماران مبتلا به شکاف دهانی که نشان‌دهنده تفاوت‌های بین انواع مختلف شکاف بوده‌اند [۲۷]، ما هیچ تفاوتشی بین انواع مختلف شکاف دهانی از نظر اندازه‌های IMD و IMW پیدا نکردیم. برخلاف یافته‌های ما، Wahaj و Ahmed [۲۸] بیان داشتند که بیماران با شکاف لب و کام یک طرفه کاهش معناداری در هر دو مقیاس IMD و IMW داشته‌اند [۲۸] غونه‌هایی که

Assessments from photographs and anthropometric measurements. Scand J Plast Reconstr Surg Hand Surg 1983; 17: 209-223.

[7] Nordin KE, Larson O, Nylén B, Eklund G. Early bone grafting in complete cleft lip and palate cases following maxillofacial orthopedics: I. the method and the skeletal development from seven to thirteen years of age. Scand J Plast Reconstr Surg Hand Surg 1983; 17: 33-50.

[8] Bishara SE, de Arredondo RSM, Vales HP, Jakobsen JR. Dentofacial relationships in persons with unoperated clefts: comparisons between three cleft types. Am J Orthod Dentofacial Orthop 1985; 87: 481-507.

[9] Friede H, Möller M, Lilja J, Lauritzen C, Johanson B. Facial morphology and occlusion at the stage of early mixed dentition in cleft lip and palate patients treated with delayed closure of the hard palate. Scand J Plast Reconstr Surg Hand Surg 1987; 21: 65-71.

[10] Hotz M, Perko M, Gnoinski W. Early orthopaedic stabilization of the praemaxilla in complete bilateral cleft lip and palate in combination with the Celesnik lip repair. Scand J Plast Reconstr Surg Hand Surg 1987; 21: 45-51.

[11] Mars M, Asher-McDade C, Brattstrom V, Dahl E, McWilliam J, Molsted K, et al. A six-center international study of treatment outcome in patients with clefts of the lip and palate: part 3. Dental arch relationships. Cleft Palate Craniofac J 1992; 29: 405-408.

[12] Ronay V, Miner RM, Will LA, Arai K. Mandibular arch form: the relationship between dental and basal anatomy. Am J Orthod Dentofacial Orthop 2008; 134: 430-438.

[13] Tajik I, Mushtaq N, Khan M. Arch Forms among Different Angle Classifications. Pakistan Oral Dental J 2011; 31: 92-95.

[14] Noroozi H, Djavid GE, Moeinzad H, Teimouri AP. Prediction of arch perimeter changes due to orthodontic treatment. Am J Orthod Dentofacial Orthop 2002; 122: 601-607.

[15] Begole EA. Application of the cubic spline function in the description of dental arch form. J Dent Res 1980; 59: 1549-1556.

[16] AlHarbi S, Alkofide EA, AlMadi A. Mathematical analyses of dental arch curvature in normal occlusion. Angle Orthod 2008; 78: 281-287.

[17] Germane N, Lindauer SJ, Rubenstein LK, Revere JH Jr, Isaacson RJ. Increase in arch perimeter due to orthodontic expansion. Am J Orthod Dentofacial Orthop 1991; 100: 421-427.

[18] Braun S, Hnat WP, Fender DE, Legan HL. The form of the human dental arch. Angle Orthod 1998; 68: 29-36.

[19] Martinelli M, Girardi A, Cura F, Nouri N, Pinto V, Carinci F, et al. Non-syndromic cleft lip with or without cleft palate in Asian populations: Association analysis on three gene polymorphisms of the folate pathway. Arch Oral Biol 2016; 61: 79-82.

[20] Mina M, Borzabadi-Farahani A, Tehranchi A, Nouri M, Younessian F. Mathematical beta function formulation for maxillary arch form prediction in normal occlusion population. Odontology 2017; 105: 229-236.

[21] Kuntz TR, Staley RN, Bigelow HF, Kremenak CR, Kohout FJ, Jakobsen JR. Arch widths in adults with Class I crowded and Class III malocclusions compared with normal occlusions. Angle Orthod 2008; 78: 597-603.

[22] Ferrario VF, Sforza C, Poggio CE, Serrao G, Colombo A. Three-dimensional dental arch curvature in human adolescents and adults. Am J Orthod Dentofacial Orthop 1999; 115: 401-405.

[23] Marcusson A. Adult patients with treated complete cleft lip and palate. Methodological and clinical studies. Swed Dent J 2001; 145: 1-57.

[24] Moorrees CF. The dentition of the growing child: a longitudinal study of dental development between 3 and 18 years of age. Am J Orthod Dentofacial Orthop 1959; 46: 702-703.

[25] Okori H, Apolot PS, Mwaka E, Tumusiime G, Buwembo W, Munabi IG. A secondary analysis to determine variations of dental arch measurements with age and gender among Ugandans. BMC Res Notes 2015; 10: 428.

[26] Omar H, Alhajrasi M, Felemban N, Hassan A. Dental arch dimensions, form and tooth size ratio among a Saudi sample. Saudi Med J 2018; 39: 86-91.

[27] Hazza'a AM, Rawashdeh MA, Al-Jamal G, Al-Nimri KS. Dental development in children with cleft lip and palate: a comparison between unilateral and bilateral clefts. Eur J Paediatr Dent 2009; 10: 90-94.

[28] Wahaj A, Ahmed I. Comparison of intercanine and intermolar width between cleft lip palate and normal class I occlusion group. J Coll Physicians Surg Pak 2015; 25: 811-814.

[29] da Silva Filho OG, Carvalho Lauris RC, Capelozza Filho L, Semb G. Craniofacial morphology in adult patients with unoperated

بیمار بوده و باید برای دستیابی و حفظ تعادل فانکشنال مناسب در بیماران ارتودتیک مدنظر باشد [۳۳].

قوس‌های دندانی با اکلوژن کلاس I انگل، قبل تر توسطتابع بتا با میانگین ضربی هم‌بستگی ۰/۹۸ و ۰/۹۷ برای مندیبل و ۰/۹۷ برای ماگریلا بیان شده بود [۱۷]. مشخص گردیده تابع بتا یک توصیف دقیق از پروجکشن‌های دوبعدی در فرم قوس دندانی ماگریلا طبق برآورد محورهای فضایی از سطوح متقابل در قوس دندانی مندیبل می‌باشد [۲۰]. در مطالعه حاضر، دقت پیش‌بینی گزارش شده توس RMS و Delta R و ضربی هم‌بستگی پیرسون نشان داد که تطابق عالی کل قوس در بیماران با شکاف دهانی وجود دارد. هر چند، تمام این اندازه‌ها در مقایسه با مقادیر گزارش شده برای بیماران با اکلوژن نرمال کمتر بود، اما در محدوده قابل قبول قرار داشت که لذا کاربردی بودن این فرمول تابع بتای تغییر یافته را در بیماران CLP اثبات می‌کند. بنابراین می‌توان از این فرمول نوین پیش‌بینی فورم ایده‌آل قوس دندانی ماگریلا در بیماران مبتلا به شکاف‌های دهانی استفاده نمود که قطعاً اثرات زیبایی و درمانی پیش‌تری برای این گروه از بیماران به دنبال خواهد داشت. فرمول تابع بتای تغییر یافته پیشنهادی و نوین برای پیش‌بینی فورم قوس ماگریلا در بیماران مبتلا به شکاف‌های دهانی از دقت بالایی برخوردار می‌باشد. لذا این اطلاعات را می‌توان به منظور پیش‌بینی فورم ایده‌آل قوس ماگریلا در بیماران با شکاف دهانی به کار برد که دچار تنگی شدید و دفورمیتی قوس دندانی به خصوص در ناحیه قدامی هستند و می‌تواند راهنمای کلینیسین برای ارائه درمان ایده‌آل ارتودتیک و جراحی باشد.

## تشکر و قدردانی

از دانشگاه علوم پزشکی شهید بهشتی بابت حمایت از طرح تشکر و قدردانی می‌شود.

## منابع

- Shetye PR. Facial growth of adults with unoperated clefts. Clin Plast Surg 2004; 31: 361-371.
- Heidbuchel KL, Kuijpers-Jagtman AM. Maxillary and mandibular dental-arch dimensions and occlusion in bilateral cleft lip and palate patients from 3 to 17 years of age. Cleft Palate Craniofac J 1997; 34: 21-26.
- Tehranchi A, Behnia H, Nadimi N, Yassaei VR, Ravesi Z, Mina M. Multidisciplinary Management of a Patient with Van der Woude Syndrome: A Case Report. Int J Surg Case Reports 2017; 30: 142-147.
- da Silva Filho OG, de Castro Machado FM, de Andrade AC, de Souza Freitas JA, Bishara SE. Upper dental arch morphology of adult unoperated complete bilateral cleft lip and palate. Am J Orthod Dentofacial Orthop 1998; 114: 154-161.
- Kornbluth M, Campbell RE, Daskalogiannakis J, Ross EJ, Glick PH, Russell KA, et al. Active Presurgical Infant Orthopedics for Unilateral Cleft Lip and Palate: Intercenter Outcome Comparison of Latham, Modified McNeil, and Nasoalveolar Molding. Cleft Palate Craniofac J 2018; 55: 639-648.
- Larson O, Nilsson B. Early bone grafting in complete cleft lip and palate cases following maxillofacial orthopedics: VI.

[32] Ahn JS, Park MS, Cha HS, Song HC, Park YS. Three-dimensional interpretation of intercanine width change in children: a 9-year longitudinal study. *Am J Orthod Dentofacial Orthop* 2012; 142: 323-332.

[33] Park SJ, Leesungbok R, Song JW, Chang SH, Lee SW, Ahn SJ. Analysis of dimensions and shapes of maxillary and mandibular dental arch in Korean young adults. *J Adv Prosthodont* 2017; 9: 321-327.

complete bilateral cleft lip and palate. *Cleft Palate Craniofac J* 1998; 35: 111-119.

[30] Santana L, Motro M, Bamashmous MS, Kantarci A, Will LA. Buccolingual angulation and intermolar width changes in the maxillary first molars of untreated growing children. *Am J Orthod Dentofacial Orthop* 2017; 151: 921-928.

[31] Canuto LF, de Freitas MR, de Freitas KM, Cançado RH, Neves LS. Long-term stability of maxillary anterior alignment in non-extraction cases. *Dental Press J Orthod* 2013; 18: 46-53.

## A new method for maxillary arch form design in cleft lip and palate patients

Azita Tehranchi (DMD MS)<sup>1</sup>, Morteza Mina (DMD MS)<sup>2</sup>, Nickinaz Yahyazadeh far (DMD Resident)<sup>3</sup>, Nazila Ameli (DMD MS)<sup>\*4</sup>

1- Preventive Research Center, Research Institute of Dental Sciences, Dental School, Shahid Beheshti University of Medical Sciences, Tehran, Iran.

2 - Private Practice, Tehran, Iran

3- Dept. of Prosthodontics, School of Dentistry, Shahed University, Tehran, Iran

4 - Dental School, Semnan University of Medical Sciences, Semnan, Iran

\* Corresponding author. +98 9122888022 nazilaa.aameli@gmail.com

Received: 6 Mar 2018; Accepted: 4 Oct 2018

**Introduction:** A study on the presentation of a modified beta function formula to predict maxillary arch form in patients with cleft palate (CLP) is of great importance. In order to have this information, this study was done to present a modified beta function formula for predicting upper dental arch of patients with cleft lip and palate (CLP) and to assess its accuracy. Since this information can be used to predict ideal maxillary arch form in CLP patients thus, would be an appropriate guide for clinician to provide ideal orthodontic and surgical treatment for these patients.

**Materials and Methods:** 46 adolescents with cleft lip and palate were selected. The measurements on dental casts included inter-molar width (IMW) and depth (IMD) of the both dental arches. The modified beta function formula was expressed by means of MATLAB Curve Fitting toolbox and its accuracy in prediction was evaluated.

**Results:** The mean values of maxillary and mandibular IMW and IMD in cleft patients were  $56.21 \pm 3.57$ mm,  $51.79 \pm 3.17$ mm,  $31.64 \pm 3.46$ mm and  $28.21 \pm 2.20$ mm, respectively. The maxillary and mandibular IMW and IMD positively correlated to each other ( $P=0.00$ ). The accuracy of prediction of upper arch form in cleft patients due to expressed modified beta function formula using Delta R was 1.69mm. The upper and lower IMD difference between males and females and between unilateral and bilateral cleft patients was statistically significant.

**Conclusion:** This study presented a modified beta function formula for predicting maxillary arch form in cleft patients, which demonstrated an acceptable level of accuracy.

**Keywords:** Molar Width, Molar Depth, Cleft Lip and Palate, Arch Form